

# Repliement de l'ARN

## Un point de vue combinatoire

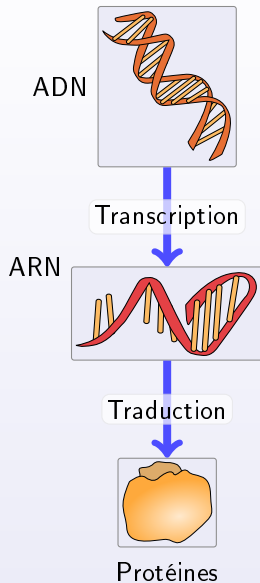
Yann Ponty

Équipe Bioinformatique LIX/AMIB INRIA  
École Polytechnique/CNRS/INRIA – France

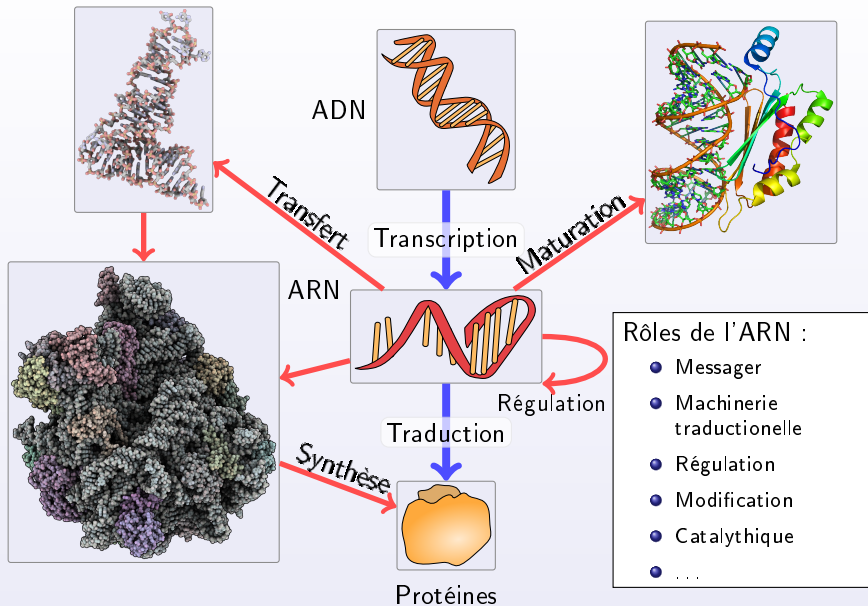
15 Décembre 2009

- 1 Introduction
  - Biologie de l'ARN
  - Structure de l'ARN
  - Modélisation de l'ARN
- 2 Aspects combinatoires
  - Diverses représentations
  - Énumération
  - Paradigmes pour le repliement
- 3 Échantillonnage statistique
  - Analyse en moyenne
  - Parcours Boustrophédon
- 4 Aspects énumératifs des RNA-Shapes
  - Présentation
  - Motivation
  - Shapes  $\pi$
- 5 Conclusion

# Dogme fondamental de la biologie moléculaire



# Dogme fondamental de la biologie moléculaire

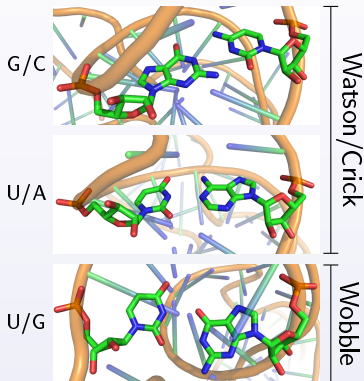


# Repliement de l'ARN

ARN = Polymère linéaire composé de nucléotides (A,C,G,U)



Appariements canoniques



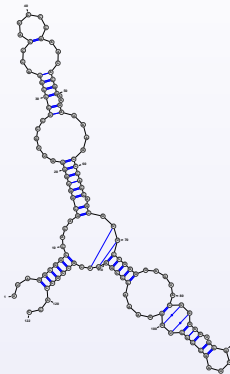
Repliement de l'ARN = Processus stochastique continu dirigé par (résultant en) un appariement des nucléotides.

# Structure(s) de l'ARN

Trois niveaux de représentation<sup>1</sup> :

```
UUAGGCGGCCACAGC
GGUGGGGUUGCCUCC
CGUACCCAUCCCGAA
CACGGAAGUAAGCC
CACCAGCGUCCGGG
GAGUACUGGAGUGCG
CGAGCCUCUGGGAAA
CCCGGUUCGCCGCCA
CC
```

Structure primaire



Structure secondaire



Source : 5s rRNA  
(PDBID : 1K73 :B)

Structure tertiaire

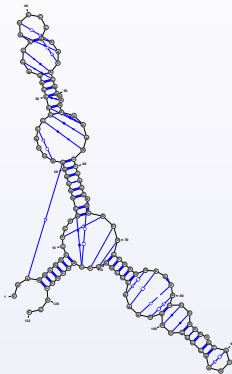
<sup>1</sup>Ou presque ...

# Structure(s) de l'ARN

Trois niveaux de représentation<sup>1</sup> :

```
UUAGGCGGCCACAGC
GGUGGGGUUGCCUCC
CGUACCCAUCCCGAA
CACGGAAGUAAGCC
CACCAGCGUCCGGG
GAGUACUGGAGUGCG
CGAGCCUCUGGGAAA
CCCGGUUCGCCGCCA
CC
```

Structure primaire



Structure secondaire<sup>+</sup>



Source : 5s rRNA  
(PDBID : 1K73 :B)

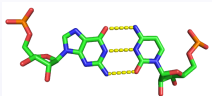
Structure tertiaire

---

<sup>1</sup>Ou presque ...

# Exclus dans la structure secondaire

- Appariements non-canoniques :  
Toute paire de base **autre que**  $\{(A-U), (C-G), (G-U)\}$   
**Ou** interagissant sur un bord non-standard (WC/WC-Cis) [LW01].



Paire CG canonique (WC/WC-Cis)



Paire CG non canonique (Sucre/WC-Trans)

- Pseudonoeads :



Structure pseudonoead d'un Ribozyme du Groupe I (PDBID : 1Y0Q :A)

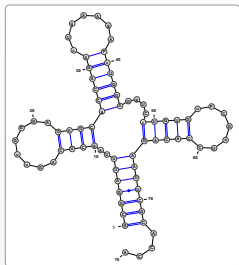
Plus expressif, mais repliement général *in silico* avec pseudonoead :

⇒ NP-Complet [LP00] ...

... mais polynomial pour des classes restreintes [CDR<sup>+</sup>04].

- 1 Introduction
  - Biologie de l'ARN
  - Structure de l'ARN
  - Modélisation de l'ARN
- 2 Aspects combinatoires
  - Diverses représentations
  - Énumération
  - Paradigmes pour le repliement
- 3 Échantillonnage statistique
  - Analyse en moyenne
  - Parcours Boustrophédon
- 4 Aspects énumératifs des RNA-Shapes
  - Présentation
  - Motivation
  - Shapes  $\pi$
- 5 Conclusion

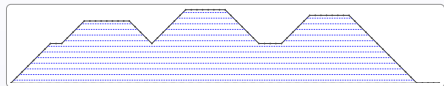
# Diverses représentations d'une molécule omniprésente



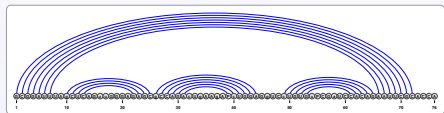
Graphe planaire (outer planar)

(((((((.....))))))(((((((.....)))))).....(((((((.....)))))).....)

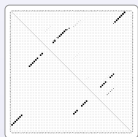
Expression bien parenthésée



Mountain view



Linéaire



Dot plot

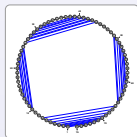


Diagramme de Feynman

Représentation différentes  
mais  
Structure combinatoire commune

# Énumération des structures secondaires

Modèle homopolymère : Appariement possible pour tout couple de bases.

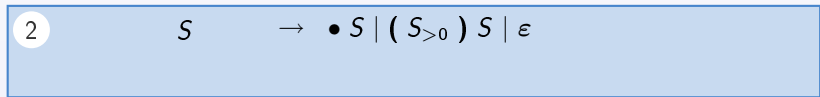
Waterman [Wat78] énumère les structures secondaires.



# Énumération des structures secondaires

Modèle homopolymère : Appariement possible pour tout couple de bases.

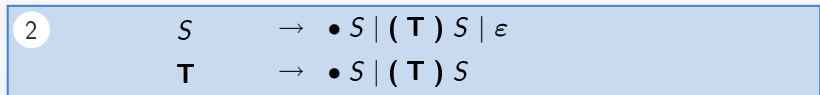
Waterman [Wat78] énumère les structures secondaires.



# Énumération des structures secondaires

Modèle homopolymère : Appariement possible pour tout couple de bases.

Waterman [Wat78] énumère les structures secondaires.



# Énumération des structures secondaires

**Modèle homopolymère** : Appariement possible pour tout couple de bases.

Waterman [Wat78] énumère les structures secondaires.

1 

2 
$$S \rightarrow \bullet S | ( T ) S | \epsilon$$
$$T \rightarrow \bullet S | ( T ) S$$

3 
$$S(z) = \frac{1-z+z^2-\sqrt{1-2z-z^2-2z^3+z^4}}{2z^2}$$

# Énumération des structures secondaires

**Modèle homopolymère** : Appariement possible pour tout couple de bases.

Waterman [Wat78] énumère les structures secondaires.

1 

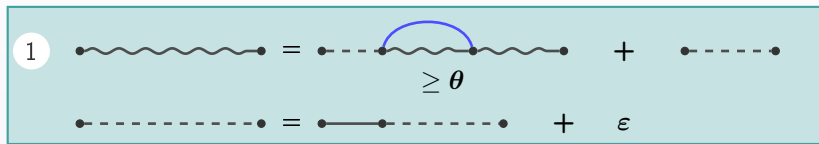
2 
$$S \rightarrow \bullet S | (T) S | \epsilon$$
$$T \rightarrow \bullet S | (T) S$$

3 
$$S(z) = \frac{1-z+z^2-\sqrt{1-2z-z^2-2z^3+z^4}}{2z^2}$$

4 
$$\rho = \frac{3-\sqrt{5}}{2} = 1 - \phi$$
$$[z^n]S(z) = \sqrt{\frac{15+7\sqrt{5}}{8\pi}} \cdot \frac{\left(\frac{3+\sqrt{5}}{2}\right)^n}{n\sqrt{n}} (1 + \mathcal{O}(1/n)) \sim 1.1 \cdot \frac{2.6^n}{n\sqrt{n}}$$

# Énumération des structures secondaires

Contrainte stérique : Nombre min. de bases  $\theta$  entre deux bases appariées.



2

$$S \rightarrow U(S_{\geq \theta})S \mid U \quad U \rightarrow \bullet U \mid \epsilon$$

3

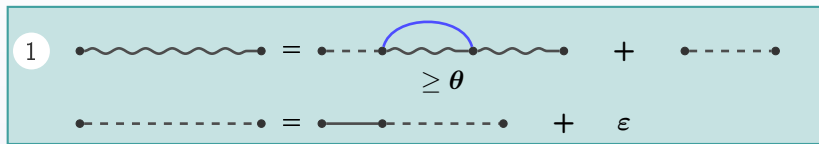
$$S(z) = \frac{1 - 2z + 2z^2 - z^{\theta+2} - \sqrt{1 - 4z + 4z^2 - 2z^{\theta+2} + 4z^{\theta+3} - 4z^{\theta+4} + z^{2\theta+4}}}{(1-z)z^2}$$

4

Empiriquement,  $1.4^n/n\sqrt{n}$  struct. compatibles avec appariements [ZS84].

# Énumération des structures secondaires

Contrainte stérique : Nombre min. de bases  $\theta$  entre deux bases appariées.



2

$$S \rightarrow U(S_{\geq \theta})S \mid U \quad U \rightarrow \bullet U \mid \epsilon$$

3

$$S(z) = \frac{1-2z+2z^2-z^{\theta+2}-\sqrt{1-4z+4z^2-2z^{\theta+2}+4z^{\theta+3}-4z^{\theta+4}+z^{2\theta+4}}}{(1-z)2z^2}$$

4

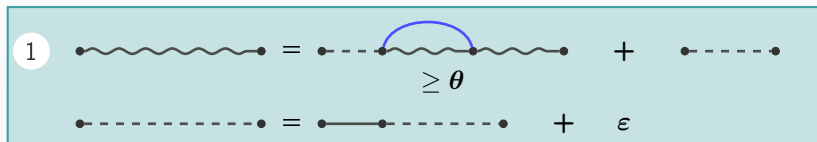
$$s_n \sim K \frac{1.4^n}{n\sqrt{n}} (1 + \mathcal{O}(1/n))$$

$\theta$	0	1	3	10
$\theta$	3	2.62	2.29	2.02

Empiriquement,  $1.4^n/n\sqrt{n}$  struct. compatibles avec appariements [ZS84].

# Énumération des structures secondaires

Contrainte stérique : Nombre min. de bases  $\theta$  entre deux bases appariées.



2

$$S \rightarrow U(\mathbf{T})S \mid U \quad U \rightarrow \bullet U \mid \epsilon$$
$$\mathbf{T} \rightarrow U(\mathbf{T})S \mid \bullet^\theta U$$

3

$$S(z) = \frac{1-2z+2z^2-z^{\theta+2}-\sqrt{1-4z+4z^2-2z^{\theta+2}+4z^{\theta+3}-4z^{\theta+4}+z^{2\theta+4}}}{(1-z)2z^2}$$

4

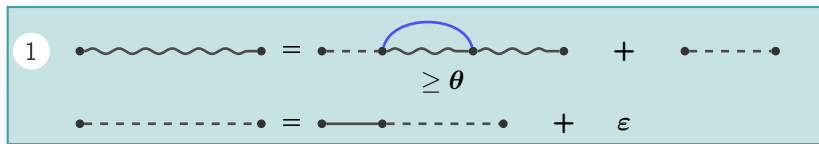
$$s_n \sim K \frac{1.4^n}{n\sqrt{n}} (1 + \mathcal{O}(1/n))$$

$\theta$	0	1	3	10
$\theta$	3	2.62	2.29	2.02

Empiriquement,  $1.4^n/n\sqrt{n}$  struct. compatibles avec appariements [ZS84].

# Énumération des structures secondaires

Contrainte stérique : Nombre min. de bases  $\theta$  entre deux bases appariées.



2

$$S \rightarrow U(\mathbf{T})S \mid U \quad U \rightarrow \bullet U \mid \epsilon$$
$$\mathbf{T} \rightarrow U(\mathbf{T})S \mid \bullet^\theta U$$

3

$$S(z) = \frac{1-2z+2z^2-z^{\theta+2}-\sqrt{1-4z+4z^2-2z^{\theta+2}+4z^{\theta+3}-4z^{\theta+4}+z^{2\theta+4}}}{(1-z)2z^2}$$

4

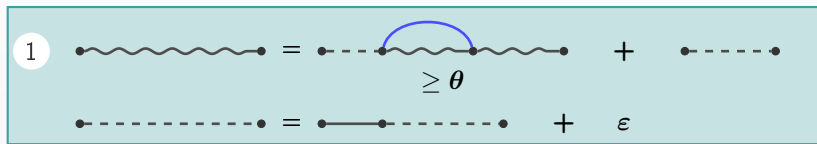
$$s_n \sim K \cdot \frac{\beta^n}{n\sqrt{n}} (1 + \mathcal{O}(1/n))$$

$\theta$	0	1	3	10
$\beta$	3.	2.62	2.29	2.02

Empiriquement,  $1.4^n/n\sqrt{n}$  struct. compatibles avec appariements [ZS84].

# Énumération des structures secondaires

Contrainte stérique : Nombre min. de bases  $\theta$  entre deux bases appariées.



2

$$S \rightarrow U(\mathbf{T})S \mid U \quad U \rightarrow \bullet U \mid \epsilon$$
$$\mathbf{T} \rightarrow U(\mathbf{T})S \mid \bullet^\theta U$$

3

$$S(z) = \frac{1-2z+2z^2-z^{\theta+2}-\sqrt{1-4z+4z^2-2z^{\theta+2}+4z^{\theta+3}-4z^{\theta+4}+z^{2\theta+4}}}{(1-z)2z^2}$$

4

$$s_n \sim K \cdot \frac{\beta^n}{n\sqrt{n}} (1 + \mathcal{O}(1/n))$$

$\theta$	0	1	3	10
$\beta$	3.	2.62	2.29	2.02

Empiriquement,  $1.4^n/n\sqrt{n}$  struct. compatibles avec appariements [ZS84].

# 1978–2004 : Paradigme énergie libre minimale

## Paradigme énergie libre minimale (MFE)

Repliement fonctionnel d'un ARN = Structure d'énergie libre minimale

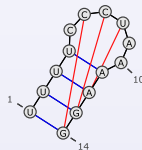
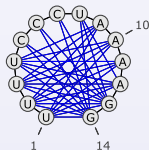
Modèle d'énergie de Nussinov/Jacobson : *Plus proche voisins* simple.

$$\text{Énergie libre} = -\# \text{ Paires de bases}$$

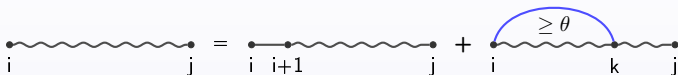
Repliement dans NJ  $\Leftrightarrow$  Maximisation du nombre de paires de bases.  
( $\Leftrightarrow$  Stable max dans graphe circulaire  $\Leftrightarrow$  CYK pondéré...)

Exemple :

UUUCCCUAAAAGG



**Variante** : Pondérer les paires selon leur nombre de liaisons hydrogènes  
 $\Delta G(G \equiv C) = -3$        $\Delta G(A = U) = -2$        $\Delta G(G - U) = -1$



Récurrance sur l'énergie libre minimale  $N_{1,n}$  d'un ARN :

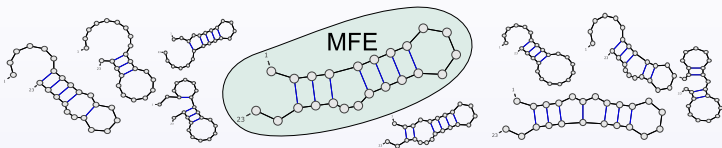
$$N_{i,t} = 0, \quad \forall t \in [i, i + \theta]$$

$$N_{i,j} = \min \begin{cases} N_{i+1,j} & (i \text{ non apparié}) \\ \min_{k=i+\theta+1}^j E_{i,j} + N_{i+1,k-1} + N_{k+1,j} & (i \text{ comp. avec } k) \end{cases}$$

À partir de  $N$ , les contributions aux  $\min$  permettent de reconstruire récursivement le repliement d'énergie libre minimal (Backtrack).

⇒ Programmation dynamique pour le repliement [NJ80].

L'ARN *respire*  $\Rightarrow$  Il n'existe pas UNE unique conformation fonctionnelle.



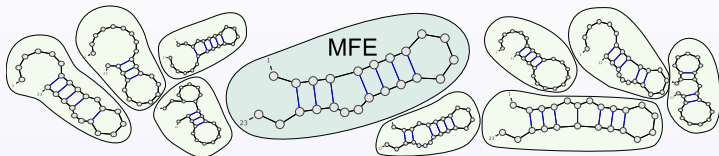
## Paradigme ensemble de Boltzmann

Les repliements d'un ARN co-existent dans un équilibre de Boltzmann.

**Conséquence :** La probabilité de la MFE peut être *négligeable*.

$\Rightarrow$  Les structures natives (fonctionnelles) sont alors à chercher dans les sous-optimales, où des structures très proches peuvent se *grouper*.

L'ARN *respire*  $\Rightarrow$  Il n'existe pas UNE unique conformation fonctionnelle.



## Paradigme ensemble de Boltzmann

Les repliements d'un ARN co-existent dans un équilibre de Boltzmann.

Conséquence : La probabilité de la MFE peut être négligeable.

$\Rightarrow$  Les structures natives (fonctionnelles) sont alors à chercher dans les sous-optimales, où des structures très proches peuvent se *grouper*.

# Distribution de Boltzmann : Définitions

Une distribution de Boltzmann **pondère** chaque structure  $S$  d'un ARN  $\omega$  par un **facteur de Boltzmann**  $e^{\frac{-E_{S,\omega}}{RT}}$  où :

- $E_{S,\omega}$  est l'énergie libre de  $S$  ( $\text{kCal.mol}^{-1}$ )
- $T$  est la température (K)
- $R$  est la constante des gaz parfaits ( $1.986 \cdot 10^{-3} \text{ kCal.K}^{-1} \cdot \text{mol}^{-1}$ )

Distribution renormalisée sur  $S_\omega$  par la **fonction de partition**

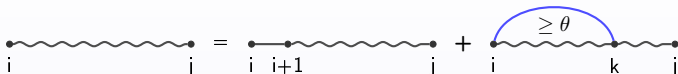
$$Z_\omega = \sum_{S \in S_\omega} e^{\frac{-E_{S,\omega}}{RT}}.$$

où  $S_\omega$  est l'ensemble des conformations compatibles avec  $\omega$ .

La **probabilité de Boltzmann** d'une structure  $S$  est alors donnée par

$$P_{S,\omega} = \frac{e^{\frac{-E_{S,\omega}}{RT}}}{Z_\omega}.$$

# Fonction de partition



Récurrance sur l'énergie minimale d'un repliement :

$$N_{i,t} = 0, \quad \forall t \in [i, i + \theta]$$

$$N_{i,j} = \min \begin{cases} N_{i+1,j} & (i \text{ non apparié}) \\ \min_{k=i+\theta+1}^j E_{i,j} + N_{i+1,k-1} + N_{k+1,j} & (i \text{ comp. avec } k) \end{cases}$$

$\Rightarrow$  Récurrance sur la fonction de partition :

$$Z_{i,t} = 1, \quad \forall t \in [i, i + \theta]$$

$$Z_{i,j} = \sum \begin{cases} Z_{i+1,j} & (i \text{ non apparié}) \\ \sum_{k=i+\theta+1}^j e^{\frac{1}{RT}} \times Z_{i+1,k-1} \times Z_{k+1,j} & (i \text{ comp. avec } k) \end{cases}$$

+ Quelques calculs un peu techniques ...

= Probabilité des paires de bases dans l'ensemble de Boltzmann [McC90].

# Échantillonnage statistique

The diagram shows an equality between two paths from node  $i$  to node  $j$ . The left side is a single wavy line representing a direct path from  $i$  to  $j$ . The right side is the sum of two paths: a direct path from  $i$  to  $i+1$  and then to  $j$ , plus a path from  $i$  to  $k$  and then to  $j$ . A blue arc above the path from  $i$  to  $k$  is labeled  $\geq \theta$ , indicating that the distance between  $i$  and  $k$  is at least  $\theta$ .

Termes du calcul de  $\mathcal{Z} \Leftrightarrow$  Poids total des struct. accessibles sur ce choix.

$\Rightarrow$  **Backtrack stochastique** engendre des structures compatibles sous contraintes d'appariements selon une distribution de Boltzmann [DL03].

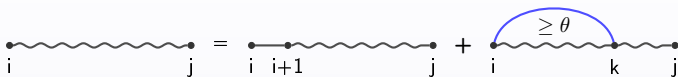
$$\mathcal{Z}_{i,t} = 1, \quad \forall t \in [i, i + \theta]$$

$$\mathcal{Z}_{i,j} = \sum \left\{ \begin{array}{l} \mathcal{Z}_{i+1,j} \\ \sum_{k=i+\theta+1}^j e^{\frac{1}{RT}} \times \mathcal{Z}_{i+1,k-1} \times \mathcal{Z}_{k+1,j} \end{array} \right. \quad \begin{array}{l} \text{A} \\ \text{B}_k \end{array}$$

$$\text{A} | \text{B}_{i+\theta+1} | \text{B}_{i+\theta+2} | \text{B}_{i+\theta+3} | \dots | \text{B}_{j-2} | \text{B}_{j-1} | \text{B}_j$$

$\Rightarrow$  Complexité du cas au pire en  $\mathcal{O}(n^2k)$  pour  $k$  échantillons.

# Échantillonnage statistique



Termes du calcul de  $\mathcal{Z} \Leftrightarrow$  Poids total des struct. accessibles sur ce choix.

$\Rightarrow$  **Backtrack stochastique** engendre des structures compatibles sous contraintes d'appariements selon une distribution de Boltzmann [DL03].

$$Z_{i,t} = 1, \quad \forall t \in [i, i + \theta]$$

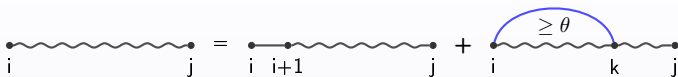
$$Z_{i,j} = \sum_{k=i+\theta+1}^j e^{\frac{1}{RT}} \times Z_{i+1,k-1} \times Z_{k+1,j}$$

A
  
B<sub>k</sub>

$$\boxed{A} \mid \boxed{B_{i+\theta+1}} \mid \boxed{B_{i+\theta+2}} \mid \boxed{B_{i+\theta+3}} \mid \dots \mid \boxed{B_{j-2}} \mid \boxed{B_{j-1}} \mid \boxed{B_j}$$

$\Rightarrow$  Complexité du cas au pire en  $\mathcal{O}(n^2k)$  pour  $k$  échantillons.

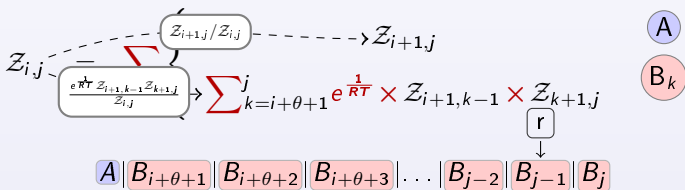
# Échantillonnage statistique



Termes du calcul de  $\mathcal{Z} \Leftrightarrow$  Poids total des struct. accessibles sur ce choix.

$\Rightarrow$  **Backtrack stochastique** engendre des structures compatibles sous contraintes d'appariements selon une distribution de Boltzmann [DL03].

$$Z_{i,t} = 1, \quad \forall t \in [i, i + \theta]$$



$\Rightarrow$  Complexité du cas au pire en  $\mathcal{O}(n^2k)$  pour  $k$  échantillons.

# Échantillonnage statistique

$$i \text{---} j = i \text{---} i+1 \text{---} j + i \text{---} k \text{---} j \quad (\text{arc } \geq \theta)$$

Termes du calcul de  $\mathcal{Z} \Leftrightarrow$  Poids total des struct. accessibles sur ce choix.

$\Rightarrow$  **Backtrack stochastique** engendre des structures compatibles sous contraintes d'appariements selon une distribution de Boltzmann [DL03].

$$Z_{i,t} = 1, \quad \forall t \in [i, i + \theta]$$

$$Z_{i,j} = \sum \left\{ \begin{array}{l} Z_{i+1,j} \\ \sum_{k=i+\theta+1}^j e^{\frac{1}{RT}} \times Z_{i+1,k-1} \times Z_{k+1,j} \end{array} \right. \quad \begin{array}{l} \textcircled{A} \\ \textcircled{B_k} \end{array}$$

$\Rightarrow$  Complexité du cas au pire en  $\mathcal{O}(n^2k)$  pour  $k$  échantillons.

# Échantillonnage statistique

$$i \text{---} j = i \text{---} i+1 \text{---} j + i \overset{\geq \theta}{\text{---}} k \text{---} j$$

Termes du calcul de  $\mathcal{Z} \Leftrightarrow$  Poids total des struct. accessibles sur ce choix.

$\Rightarrow$  **Backtrack stochastique** engendre des structures compatibles sous contraintes d'appariements selon une distribution de Boltzmann [DL03].

$$Z_{i,t} = 1, \quad \forall t \in [i, i + \theta]$$

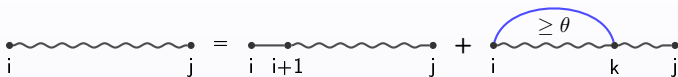
$$Z_{i,j} = \sum \left\{ \begin{array}{l} Z_{i+1,j} \\ \sum_{k=i+\theta+1}^j e^{\frac{1}{RT}} \times Z_{i+1,k-1} \times Z_{k+1,j} \end{array} \right. \quad \begin{array}{l} \textcircled{A} \\ \textcircled{B_k} \end{array}$$

$\Rightarrow$  Complexité du cas au pire en  $\mathcal{O}(n^2k)$  pour  $k$  échantillons.





# Échantillonnage statistique



Termes du calcul de  $\mathcal{Z} \Leftrightarrow$  Poids total des struct. accessibles sur ce choix.

$\Rightarrow$  **Backtrack stochastique** engendre des structures compatibles sous contraintes d'appariements selon une distribution de Boltzmann [DL03].

$$Z_{i,t} = 1, \quad \forall t \in [i, i + \theta]$$

$$Z_{i,j} = \sum \left\{ \begin{array}{l} Z_{i+1,j} \\ \sum_{k=i+\theta+1}^j e^{\frac{1}{RT}} \times Z_{i+1,k-1} \times Z_{k+1,j} \end{array} \right.$$

A  
B<sub>k</sub>

$\Rightarrow$  Complexité du cas au pire en  $\mathcal{O}(n^2 k)$  pour  $k$  échantillons.

Un point de vue combinatoire sur l'espace des conformations . . .

- . . . permet de quantifier sa cardinalité asymptotique.
- . . . unifie l'algorithmique des paradigmes MFE/Boltzmann.
- . . . aide à prouver la correction d'un schéma de prog. dyn.
- . . . donne un cadre pour l'analyse en moyenne des algorithmes.

- 1 Introduction
  - Biologie de l'ARN
  - Structure de l'ARN
  - Modélisation de l'ARN
- 2 Aspects combinatoires
  - Diverses représentations
  - Énumération
  - Paradigmes pour le repliement
- 3 Échantillonnage statistique
  - Analyse en moyenne
  - Parcours Boustrophédon
- 4 Aspects énumératifs des RNA-Shapes
  - Présentation
  - Motivation
  - Shapes  $\pi$
- 5 Conclusion

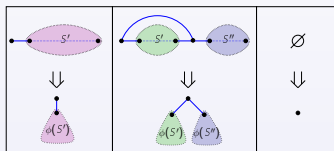
**Modèle Homopolymère** : Toutes paires de bases autorisées.

**Distribution de Boltzmann** : Basée sur une énergie de Nussinov/Jacobson.

## Théorème

Soit  $n$  la longueur de l'ARN et  $k$  le nombre d'échantillons engendrés.

La *complexité en moyenne* de l'échantillonnage est en  $\Theta(n^3 + kn\sqrt{n})$ .



**Remarque 1** : Le coût de génération  $c(S)$  d'une structure  $S$  est dominé par la somme des tailles des fils gauches  $t \in \mathcal{T}_g(S)$  de l'arbre unaire/binaire associé :

$$c(S) = n - \#bp(S)/2 + \sum_{t \in \mathcal{T}_g(S)} |t| - \theta$$

**Modèle Homopolymère** : Toutes paires de bases autorisées.

**Distribution de Boltzmann** : Basée sur une énergie de Nussinov/Jacobson.

## Théorème

Soit  $n$  la longueur de l'ARN et  $k$  le nombre d'échantillons engendrés.

La **complexité en moyenne** de l'échantillonnage est en  $\Theta(n^3 + kn\sqrt{n})$ .

On s'intéresse à l'espérance de la v.a.  $X$  **coût d'une génération**. On a alors

$$\mathbb{E}(X | n) = \sum_{|S|=n} c(S) \cdot \frac{e^{\frac{bp(S)}{RT}}}{Z_n} = \frac{\sum_{|S|=n} c(S) \cdot e^{\frac{bp(S)}{RT}}}{\sum_{|S|=n} e^{\frac{bp(S)}{RT}}}.$$

On sépare notre étude en introduisant deux s.g.  $C(z)$  et  $P_f(z)$  telles que

$$C(z) = \sum_{S \in \mathcal{S}} e^{\frac{bp(S)}{RT}} c(S) z^{|S|} \quad \text{et} \quad P_f(z) = \sum_{S \in \mathcal{S}} e^{\frac{bp(S)}{RT}} z^{|S|}.$$

On note alors que  $\mathbb{E}(X | n) = [z^n]C(z)/[z^n]P_f(z)$ .

Modèle Homopolymère : Toutes paires de bases autorisées.

Distribution de Boltzmann : Basée sur une énergie de Nussinov/Jacobson.

## Théorème

Soit  $n$  la longueur de l'ARN et  $k$  le nombre d'échantillons engendrés.

La complexité en moyenne de l'échantillonnage est en  $\Theta(n^3 + kn\sqrt{n})$ .

$C(z)$  et  $P_f(z)$  sont alors les solutions positives du système

$$\begin{aligned}C(z) &= z(P_f(z) + C(z)) + z^2 e^{\frac{1}{RT}} (1 - \theta) P_f^{\geq \theta}(z) P_f(z) \\ &+ z^3 e^{\frac{1}{RT}} \frac{\partial P_f^{\geq \theta}(z)}{\partial z} P_f(z) + z^2 e^{\frac{1}{RT}} C^{\geq \theta}(z) P_f(z) \\ &+ z^2 e^{\frac{1}{RT}} P_f^{\geq \theta}(z) C(z) \\ P_f(z) &= z^2 e^{\frac{1}{RT}} P_f^{\geq \theta}(z) P_f(z) + z P_f(z) + 1\end{aligned}$$

où  $S^{\geq \theta}(z)$  est la s.g.  $S(z)$  privée de ses termes de degré  $< \theta$ .

**Modèle Homopolymère** : Toutes paires de bases autorisées.

**Distribution de Boltzmann** : Basée sur une énergie de Nussinov/Jacobson.

## Théorème

Soit  $n$  la longueur de l'ARN et  $k$  le nombre d'échantillons engendrés.

La **complexité en moyenne** de l'échantillonnage est en  $\Theta(n^3 + kn\sqrt{n})$ .

⇒ Grosses séries génératrices un peu complexes (Merci Maple!)....

+ **Analyse de singularités** :

$$[z^n]P_f(z) \sim \frac{\kappa}{\rho^n n\sqrt{n}}(1 + \mathcal{O}(1/n)) \quad [z^n]C(z) \sim \frac{\kappa'}{\rho^n}(1 + \mathcal{O}(1/\sqrt{n}))$$

On obtient ainsi un équivalent asymptotique pour  $\mathbb{E}(X | n)$  :

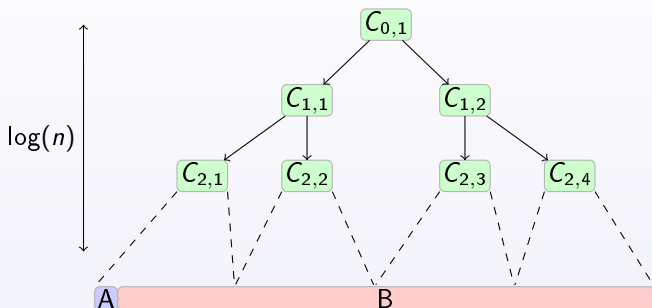
$$\mathbb{E}(X | n) = \frac{[z^n]C(z)}{[z^n]P_f(z)} \sim \frac{\kappa'}{\kappa} n\sqrt{n}(1 + \mathcal{O}(1/\sqrt{n})).$$



# Parcours Boustrophédon

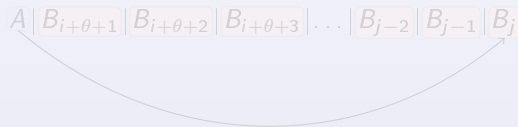
En moyenne, on perd du temps à tester des décompositions infructueuses !

- Organisation hiérarchique des contributions



⇒ Génération en  $\mathcal{O}(n^3 + kn \log(n))$ , mémoire en  $\Theta(n^3)$ .

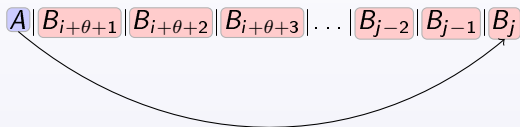
- Parcours Boustrophédon



# Parcours Boustrophédon

En moyenne, on perd du temps à tester des décompositions infructueuses !

- Organisation hiérarchique des contributions  
⇒ Génération en  $\mathcal{O}(n^3 + kn \log(n))$ , mémoire en  $\Theta(n^3)$ .
- Parcours Boustrophédon



Décomposition inégale

⇒ Coût *immédiat* faible, récursion sur intervalle de taille  $\mathcal{O}(j-i-c)$ .

Décomposition égale ⇒ Coût *immédiat* élevé, diviser pour régner.

Complexité au pire solution de

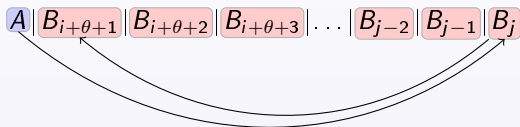
$$f(n) = \max_{k \in [1, n-1]} (f(k) + f(n-k) + 2 \min(k, n-k)) \in \mathcal{O}(n \log(n)) \text{ [FZV94].}$$

⇒ Génération en  $\mathcal{O}(n^3 + kn \log(n))$  sans précalcul supplémentaire.

# Parcours Boustrophédon

En moyenne, on perd du temps à tester des décompositions infructueuses !

- Organisation hiérarchique des contributions  
⇒ Génération en  $\mathcal{O}(n^3 + kn \log(n))$ , mémoire en  $\Theta(n^3)$ .
- Parcours Boustrophédon



Décomposition inégale

⇒ Coût *immédiat* faible, récursion sur intervalle de taille  $\mathcal{O}(j-i-c)$ .

Décomposition égale ⇒ Coût *immédiat* élevé, diviser pour régner.

Complexité au pire solution de

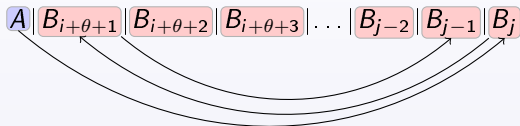
$$f(n) = \max_{k \in [1, n-1]} (f(k) + f(n-k) + 2 \min(k, n-k)) \in \mathcal{O}(n \log(n)) \text{ [FZV94].}$$

⇒ Génération en  $\mathcal{O}(n^3 + kn \log(n))$  sans précalcul supplémentaire.

# Parcours Boustrophédon

En moyenne, on perd du temps à tester des décompositions infructueuses !

- Organisation hiérarchique des contributions  
⇒ Génération en  $\mathcal{O}(n^3 + kn \log(n))$ , mémoire en  $\Theta(n^3)$ .
- Parcours Boustrophédon



Décomposition inégale

⇒ Coût *immédiat* faible, récursion sur intervalle de taille  $\mathcal{O}(j-i-c)$ .

Décomposition égale ⇒ Coût *immédiat* élevé, diviser pour régner.

Complexité au pire solution de

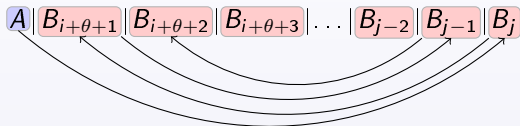
$$f(n) = \max_{k \in [1, n-1]} (f(k) + f(n-k) + 2 \min(k, n-k)) \in \mathcal{O}(n \log(n)) \text{ [FZV94].}$$

⇒ Génération en  $\mathcal{O}(n^3 + kn \log(n))$  sans précalcul supplémentaire.

# Parcours Boustrophédon

En moyenne, on perd du temps à tester des décompositions infructueuses !

- Organisation hiérarchique des contributions  
⇒ Génération en  $\mathcal{O}(n^3 + kn \log(n))$ , mémoire en  $\Theta(n^3)$ .
- Parcours Boustrophédon



Décomposition inégale

⇒ Coût *immédiat* faible, récursion sur intervalle de taille  $\mathcal{O}(j-i-c)$ .

Décomposition égale ⇒ Coût *immédiat* élevé, diviser pour régner.

Complexité au pire solution de

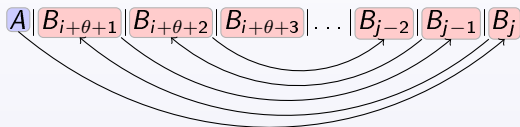
$$f(n) = \max_{k \in [1, n-1]} (f(k) + f(n-k) + 2 \min(k, n-k)) \in \mathcal{O}(n \log(n)) \text{ [FZV94].}$$

⇒ Génération en  $\mathcal{O}(n^3 + kn \log(n))$  sans précalcul supplémentaire.

# Parcours Boustrophédon

En moyenne, on perd du temps à tester des décompositions infructueuses !

- Organisation hiérarchique des contributions  
⇒ Génération en  $\mathcal{O}(n^3 + kn \log(n))$ , mémoire en  $\Theta(n^3)$ .
- Parcours Boustrophédon



Décomposition inégale

⇒ Coût *immédiat* faible, récursion sur intervalle de taille  $\mathcal{O}(j-i-c)$ .

Décomposition égale ⇒ Coût *immédiat* élevé, diviser pour régner.

Complexité au pire solution de

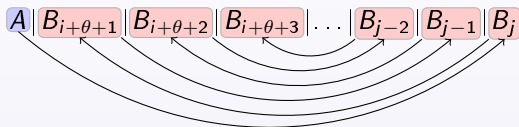
$$f(n) = \max_{k \in [1, n-1]} (f(k) + f(n-k) + 2 \min(k, n-k)) \in \mathcal{O}(n \log(n)) \text{ [FZV94].}$$

⇒ Génération en  $\mathcal{O}(n^3 + kn \log(n))$  sans précalcul supplémentaire.

# Parcours Boustrophédon

En moyenne, on perd du temps à tester des décompositions infructueuses !

- Organisation hiérarchique des contributions  
⇒ Génération en  $\mathcal{O}(n^3 + kn \log(n))$ , mémoire en  $\Theta(n^3)$ .
- Parcours Boustrophédon



Décomposition inégale

⇒ Coût *immédiat* faible, récursion sur intervalle de taille  $\mathcal{O}(j-i-c)$ .

Décomposition égale ⇒ Coût *immédiat* élevé, diviser pour régner.

Complexité au pire solution de

$$f(n) = \max_{k \in [1, n-1]} (f(k) + f(n-k) + 2 \min(k, n-k)) \in \mathcal{O}(n \log(n)) \text{ [FZV94].}$$

⇒ Génération en  $\mathcal{O}(n^3 + kn \log(n))$  sans précalcul supplémentaire.

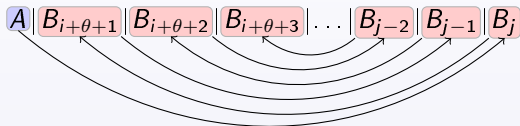
# Parcours Boustrophédon

En moyenne, on perd du temps à tester des décompositions infructueuses !

- Organisation hiérarchique des contributions

⇒ Génération en  $\mathcal{O}(n^3 + kn \log(n))$ , mémoire en  $\Theta(n^3)$ .

- Parcours Boustrophédon



## Décomposition inégale

⇒ Coût *immédiat* faible, récursion sur intervalle de taille  $\mathcal{O}(j-i-c)$ .

Décomposition égale ⇒ Coût *immédiat* élevé, diviser pour régner.

Complexité **au pire** solution de

$$f(n) = \max_{k \in [1, n-1]} (f(k) + f(n-k) + 2 \min(k, n-k)) \in \mathcal{O}(n \log(n)) \text{ [FZV94].}$$

⇒ Génération en  $\mathcal{O}(n^3 + kn \log(n))$  **sans précalcul supplémentaire.**

- 1 Introduction
  - Biologie de l'ARN
  - Structure de l'ARN
  - Modélisation de l'ARN
- 2 Aspects combinatoires
  - Diverses représentations
  - Énumération
  - Paradigmes pour le repliement
- 3 Échantillonnage statistique
  - Analyse en moyenne
  - Parcours Boustrophédon
- 4 Aspects énumératifs des RNA-Shapes
  - Présentation
  - Motivation
  - Shapes  $\pi$
- 5 Conclusion

## Definition (RNA shapes [GVR04])

Hiérarchie de représentation *gros-grain* pour la struct. sec. d'ARN.

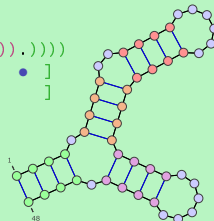
Basée sur l'arbre *sous-jacent* à la structure secondaire.

## Exemple

Sec. str. ((((.(((.((((.....)))))))))(((.....))))))

$\pi'$ -shape [ • [ • [ • ] ] [ • ] • ]

$\pi$ -shape [ [ - - ] [ • ] ]



## Definition (RNA shapes [GVR04])

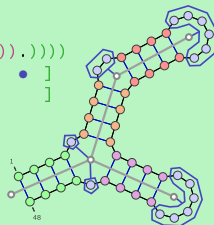
Hiérarchie de représentation *gros-grain* pour la struct. sec. d'ARN.

Basée sur l'arbre *sous-jacent* à la structure secondaire.

## Exemple

Sec. str. ((((.(((.((((.....)))))))))(((.....))))))  
 $\pi'$ -shape [ • [ • [ • ] ] [ • ] • ]  
 $\pi$ -shape [ [ - - ] [ • ] ]

Contracter les caractères  
identiques consécutifs



## Definition (RNA shapes [GVR04])

Hiérarchie de représentation *gros-grain* pour la struct. sec. d'ARN.

Basée sur l'arbre *sous-jacent* à la structure secondaire.

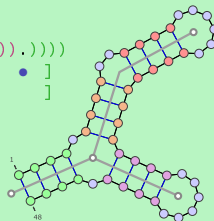
## Exemple

Sec. str. ((((.(((.((((.....)))))))))(((((.....))))).))))

$\pi'$ -shape [ • [ • [ • ] ] [ • ] • ]

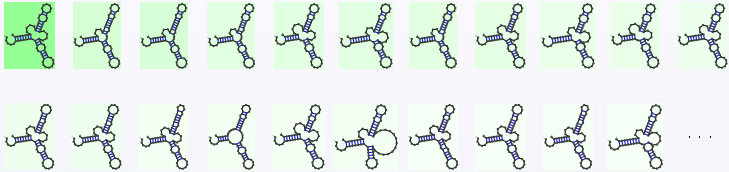
$\pi$ -shape [ [ - - ] [ • ] ]

Oculter les régions non-appariées  
Contracter les hélices imbriquées



# Motivation

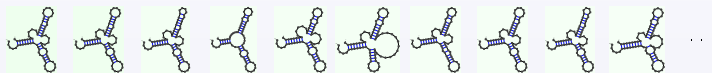
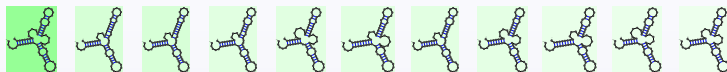
Les shapes permettent une exploration hiérarchique de l'ensemble de Boltzmann.



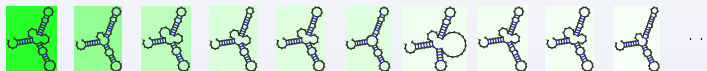
Génération de 10000 échantillons  $\Rightarrow$  1727 Struct. sec. ...

# Motivation

Les shapes permettent une exploration hiérarchique de l'ensemble de Boltzmann.



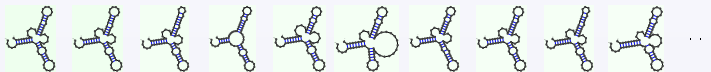
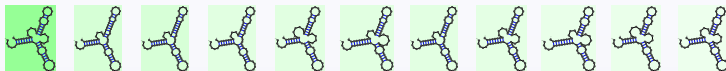
Génération de 10000 échantillons  $\Rightarrow$  1727 Struct. sec. ...



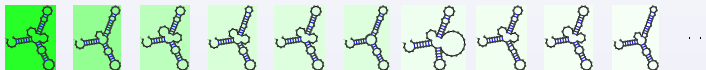
... 406 shapes  $\pi'$  ...

# Motivation

Les shapes permettent une exploration hiérarchique de l'ensemble de Boltzmann.



Génération de 10000 échantillons  $\Rightarrow$  1727 Struct. sec. ...



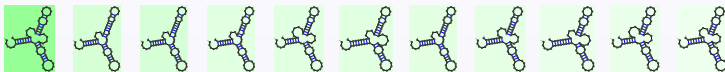
... 406 shapes  $\pi'$  ...



... mais seulement 9 shapes  $\pi$  !

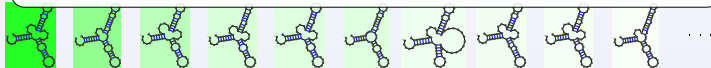
# Motivation

Les shapes permettent une exploration hiérarchique de l'ensemble de Boltzmann.



Question : Est il raisonnable d'explorer exhaustivement l'ensemble des shapes compatibles avec un ARN donné?

Généraliser : Combien de shapes devra t on considérer?



... 406 shapes  $\pi'$  ...



... mais seulement 9 shapes  $\pi$  !

Objectif : Compter les shapes  $\pi$  à  $2n$  parenthèses.



1 Shapes  $\pi$  = Mots bien parenthésés évitant le motif  $[[\dots]]$ .





Objectif : Compter les shapes  $\pi$  à  $2n$  parenthèses.



1 Shapes  $\pi$  = Mots bien parenthésés évitant le motif  $[[ \dots ]]$ .

2  $S \rightarrow [T]S \mid [T]$        $T \rightarrow [T]S \mid \varepsilon$

3 
$$S(z) = \frac{1 - z^2 - \sqrt{1 - 2z^2 - 3z^4}}{2z^2}$$

Objectif : Compter les shapes  $\pi$  à  $2n$  parenthèses.



1 Shapes  $\pi$  = Mots bien parenthésés évitant le motif  $[[ \dots ]]$ .

2  $S \rightarrow [T]S \mid [T]$        $T \rightarrow [T]S \mid \varepsilon$

3 
$$S(z) = \frac{1 - z^2 - \sqrt{1 - 2z^2 - 3z^4}}{2z^2}$$

4 
$$s_{2n} \sim \frac{\sqrt{3}}{2\sqrt{\pi}} \cdot \frac{3^n}{n\sqrt{\pi}} (1 + \mathcal{O}(1/n)) \quad \text{et} \quad s_{2n+1} = 0$$

Remarque : Cela vous fait-il penser à quelque chose ???

## Limitations

Nombre de shapes  $\pi$  de taille  $n$   
 $\neq$   
Nombre de shapes  $\pi$  compatibles avec un RNA de taille  $n$

## Raisons principales :

- 1 Shapes de taille  $\leq n$  devraient être aussi considérées
- 2 Création de motif *terminal*  $[ ]$  implique au moins  $\theta + 2$  bases.

$$2 \quad S \rightarrow [ T ] S \mid [ T ] \quad T \rightarrow [ T ] S \mid \varepsilon$$

$$3 \quad S(z) = \frac{1 - z^2 - \sqrt{1 - 2z^2 - 3z^4}}{2z^2}$$

$$4 \quad \text{Pour } n \text{ pair : } s_{2n} \sim \frac{3\sqrt{3}}{4\sqrt{\pi}} \cdot \frac{3^n}{n\sqrt{\pi}} (1 + \mathcal{O}(1/n)) \approx 0.48 \cdot \frac{3^n}{n\sqrt{n}}$$

## Limitations

Nombre de shapes  $\pi$  de taille  $n$   
 $\neq$   
Nombre de shapes  $\pi$  compatibles avec un RNA de taille  $n$

## Raisons principales :

- 1 Shapes de taille  $\leq n$  devraient être aussi considérées
- 2 Création de motif *terminal*  $[\ ]$  implique au moins  $\theta + 2$  bases.

$$\begin{aligned} 2 \quad S &\rightarrow [T]S|[T] & T &\rightarrow [T]S|\bullet^\theta \\ R &\rightarrow \square S|\varepsilon \end{aligned}$$

$$3 \quad R(z) = \frac{1 - z^2 - \sqrt{1 - 2z^2 - 3z^4}}{2z^2(1 - z)}$$

$$4 \quad r_{2n} \sim \frac{3\sqrt{3}}{4\sqrt{\pi}} \cdot \frac{3^n}{n\sqrt{n}} (1 + \mathcal{O}(1/n)) \Rightarrow r_n \approx 2.07 \cdot \frac{1.73^n}{n\sqrt{n}}$$

## Limitations

Nombre de shapes  $\pi$  de taille  $n$   
 $\neq$   
Nombre de shapes  $\pi$  compatibles avec un RNA de taille  $n$

## Raisons principales :

- 1 Shapes de taille  $\leq n$  devraient être aussi considérées
- 2 Création de motif *terminal*  $[\ ]$  implique au moins  $\theta + 2$  bases.

$$\begin{aligned} 2 \quad S &\rightarrow [T]S \mid [T] & T &\rightarrow [T]S \mid \bullet^\theta \\ R &\rightarrow \square S \mid \varepsilon \end{aligned}$$

$$3 \quad R(z) = \frac{1 - z^{\theta+2} - \sqrt{1 - 2z^{\theta+2} - 4z^{\theta+4} + z^{2\theta+4}}}{2z^2(1-z)}$$

$$4 \quad \theta = 3 \Rightarrow r_n \approx 2.44 \frac{1.32^n}{n\sqrt{n}}$$

# Appartée : Une bijection amusante



## Théorème

$\# \text{ shapes } \pi \text{ de taille } 2n + 2 = \# \text{ mots de Motzkin de taille } n$

## Preuve

$$S(z) = \frac{1-z^2-\sqrt{1-2z^2-3z^4}}{2z^2} \quad M(z) = \frac{1-z-\sqrt{1-2z-3z^2}}{2z^2}$$
$$S(z) = 1 + z^2 M(z^2) \quad \Rightarrow \quad s_{2n+2} = m_n$$

Ces deux classes sont en bijection.

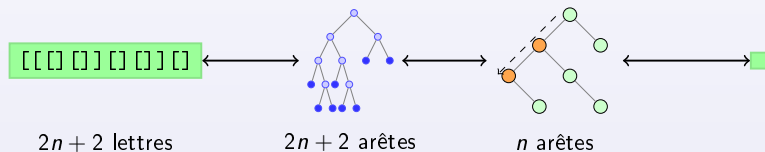
Comment ? Comment se projettent les statistiques ?

# Explicit bijection

Soit  $\psi, \phi : \{ [, ] \}^* \rightarrow \{ ( , ) , \bullet \}$  tels que

$$\psi(( A ) B) = \begin{cases} \phi(A) & \text{Si } B = \varepsilon \\ \phi(A) \bullet \psi(B) & \text{Sinon} \end{cases}$$
$$\phi(( A ) B) = \phi(A)[\psi(B)]$$
$$\phi(\varepsilon) = \varepsilon.$$

Alors  $\psi$  est **bijjective** entre  $s_{2n+2}$  et  $m_n$ .

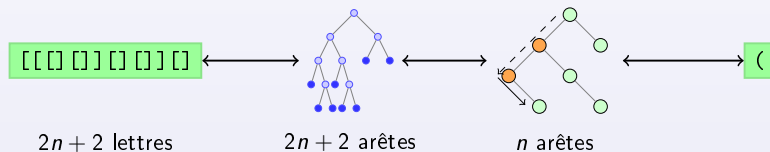


# Explicit bijection

Soit  $\psi, \phi : \{ [, ] \}^* \rightarrow \{ (, ), \bullet \}$  tels que

$$\psi(( A ) B) = \begin{cases} \phi(A) & \text{Si } B = \varepsilon \\ \phi(A) \bullet \psi(B) & \text{Sinon} \end{cases}$$
$$\phi(( A ) B) = \phi(A)[\psi(B)]$$
$$\phi(\varepsilon) = \varepsilon.$$

Alors  $\psi$  est **bijective** entre  $s_{2n+2}$  et  $m_n$ .

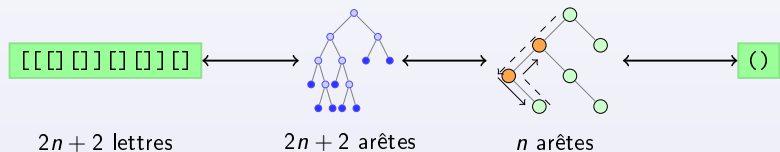


# Explicit bijection

Soit  $\psi, \phi : \{ [, ] \}^* \rightarrow \{ (, ), \bullet \}$  tels que

$$\psi(( A ) B) = \begin{cases} \phi(A) & \text{Si } B = \varepsilon \\ \phi(A) \bullet \psi(B) & \text{Sinon} \end{cases}$$
$$\phi(( A ) B) = \phi(A)[\psi(B)]$$
$$\phi(\varepsilon) = \varepsilon.$$

Alors  $\psi$  est **bijjective** entre  $s_{2n+2}$  et  $m_n$ .

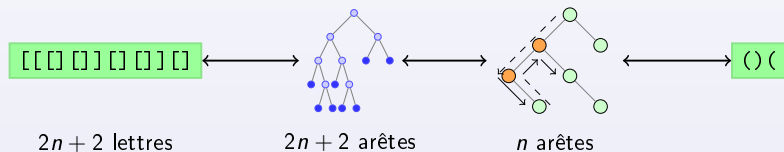


# Explicit bijection

Soit  $\psi, \phi : \{ [, ] \}^* \rightarrow \{ (, ), \bullet \}$  tels que

$$\psi(( A ) B) = \begin{cases} \phi(A) & \text{Si } B = \varepsilon \\ \phi(A) \bullet \psi(B) & \text{Sinon} \end{cases}$$
$$\phi(( A ) B) = \phi(A)[\psi(B)]$$
$$\phi(\varepsilon) = \varepsilon.$$

Alors  $\psi$  est **bijjective** entre  $s_{2n+2}$  et  $m_n$ .

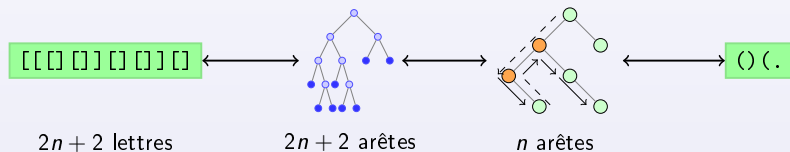


# Explicit bijection

Soit  $\psi, \phi : \{ [, ] \}^* \rightarrow \{ (, ), \bullet \}$  tels que

$$\psi(( A ) B) = \begin{cases} \phi(A) & \text{Si } B = \varepsilon \\ \phi(A) \bullet \psi(B) & \text{Sinon} \end{cases}$$
$$\phi(( A ) B) = \phi(A)[\psi(B)]$$
$$\phi(\varepsilon) = \varepsilon.$$

Alors  $\psi$  est **bijective** entre  $s_{2n+2}$  et  $m_n$ .

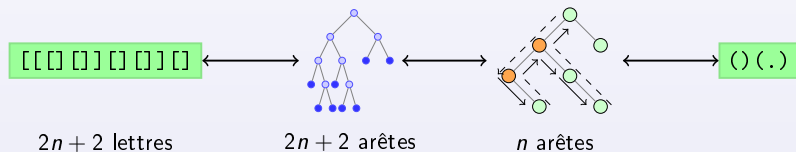


# Explicit bijection

Soit  $\psi, \phi : \{ [, ] \}^* \rightarrow \{ (, ), \bullet \}$  tels que

$$\psi(( A ) B) = \begin{cases} \phi(A) & \text{Si } B = \varepsilon \\ \phi(A) \bullet \psi(B) & \text{Sinon} \end{cases}$$
$$\phi(( A ) B) = \phi(A)[\psi(B)]$$
$$\phi(\varepsilon) = \varepsilon.$$

Alors  $\psi$  est **bijjective** entre  $s_{2n+2}$  et  $m_n$ .

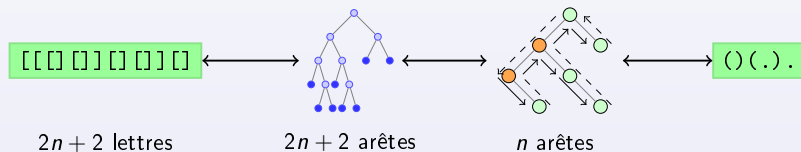


# Explicit bijection

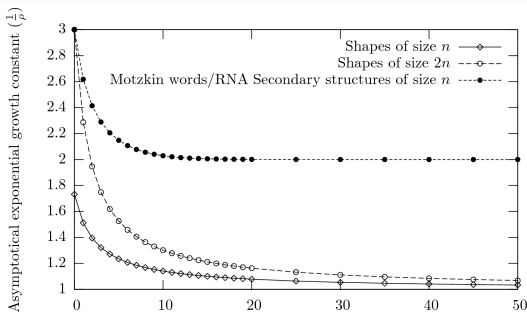
Soit  $\psi, \phi : \{ [, ] \}^* \rightarrow \{ (, ), \bullet \}$  tels que

$$\psi(( A ) B) = \begin{cases} \phi(A) & \text{Si } B = \varepsilon \\ \phi(A) \bullet \psi(B) & \text{Sinon} \end{cases}$$
$$\phi(( A ) B) = \phi(A)[\psi(B)]$$
$$\phi(\varepsilon) = \varepsilon.$$

Alors  $\psi$  est **bijective** entre  $s_{2n+2}$  et  $m_n$ .



# Limite de la bijection



Impact de  $\theta$  très différent sur les shapes et les mots de Motzkin.

## Théorème

*Nombres moyens de motifs terminaux dans les mots de Motzkin words et shapes  $\pi$  grandissent en  $m_n^t \sim \frac{n}{6} + \mathcal{O}(1)$  and  $s_{2n+2}^t \sim \frac{2n}{3} + \mathcal{O}(1)$ .*

Preuve utilise séries (temporairement) bivariées.

**Objectif :** Compter les shapes  $\pi'$  compatibles avec ARN de taille  $n$ .

1 Shapes  $\pi' =$  Mots bien parenthésés évitant  $[[\dots]]$  et  $\bullet\bullet$

2  $R \rightarrow \square R | S \quad S \rightarrow U [ T ] S | U \quad U \rightarrow \diamond | \varepsilon$   
 $T \rightarrow U [ T ] U [ T ] S | \diamond [ T ] | [ T ] \diamond | \diamond [ T ] \diamond | \bullet^\theta$

3  $\theta = 3, R(z) = \frac{1+2z^2+2z^3+z^4-z^5-z^6-\sqrt{1-4z^3-2z^4-2z^5+2z^6-7z^8-z^{10}+2z^{11}+z^{12}}}{2z^2(1-z^2)}$

4  $r_n \sim 1.27 \frac{1.81^n}{n\sqrt{n}}$

**Objectif :** Compter les shapes  $\pi'$  compatibles avec ARN de taille  $n$ .

1 Shapes  $\pi' =$  Mots bien parenthésés évitant  $[[\dots]]$  et  $\bullet\bullet$

2  $R \rightarrow \square R | S \quad S \rightarrow U [ T ] S | U \quad U \rightarrow \diamond | \varepsilon$   
 $T \rightarrow U [ T ] U [ T ] S | \diamond [ T ] | [ T ] \diamond | \diamond [ T ] \diamond | \bullet^\theta$

3  $\theta = 3, R(z) = \frac{1+2z^2+2z^3+z^4-z^5-z^6-\sqrt{1-4z^3-2z^4-2z^5+2z^6-7z^8-z^{10}+2z^{11}+z^{12}}}{2z^2(1-z^2)}$

4  $r_n \sim 1.27 \frac{1.81^n}{n\sqrt{n}}$

**Objectif :** Compter les shapes  $\pi'$  compatibles avec ARN de taille  $n$ .

1 Shapes  $\pi' =$  Mots bien parenthésés évitant  $[[\dots]]$  et  $\bullet\bullet$

2  $R \rightarrow \square R | S \quad S \rightarrow U [ T ] S | U \quad U \rightarrow \diamond | \varepsilon$   
 $T \rightarrow U [ T ] U [ T ] S | \diamond [ T ] | [ T ] \diamond | \diamond [ T ] \diamond | \bullet^\theta$

3  $\theta = 3, R(z) = \frac{1+2z^2+2z^3+z^4-z^5-z^6-\sqrt{1-4z^3-2z^4-2z^5+2z^6-7z^8-z^{10}+2z^{11}+z^{12}}}{2z^2(1-z^2)}$

4  $r_n \sim 1.27 \frac{1.81^n}{n\sqrt{n}}$

**Objectif :** Compter les shapes  $\pi'$  compatibles avec ARN de taille  $n$ .

1 Shapes  $\pi' =$  Mots bien parenthésés évitant  $[[\dots]]$  et  $\bullet\bullet$

2  $R \rightarrow \square R \mid S \quad S \rightarrow U[T]S \mid U \quad U \rightarrow \diamond \mid \varepsilon$   
 $T \rightarrow U[T]U[T]S \mid \diamond[T] \mid [T]\diamond \mid \diamond[T]\diamond \mid \bullet^\theta$

3  $\theta = 3, R(z) = \frac{1+2z^2+2z^3+z^4-z^5-z^6-\sqrt{1-4z^3-2z^4-2z^5+2z^6-7z^8-z^{10}+2z^{11}+z^{12}}}{2z^2(1-z^2)}$

4  $r_n \sim 1.27 \frac{1.81^n}{n\sqrt{n}}$

Modèle	Asymptotique
Sec. str. – Taille $n$ (Combinatoire)	$1.1 \cdot \frac{2.6^n}{n\sqrt{n}}$
Sec. str – Empirique séquence taille $n$	$0.04 \cdot \frac{1.4^n}{n\sqrt{n}}$
Shapes $\pi$ – Taille $n$ (Combinatoire)	$1.38 \cdot \frac{1.73^n}{n\sqrt{n}}$
Shapes $\pi$ – Compatible avec ARN de taille $n$	$2.44 \cdot \frac{1.32^n}{n\sqrt{n}}$
Shapes $\pi$ – Empirique séquence taille $n$	$0.21 \cdot \frac{1.1^n}{n\sqrt{n}}$
Shapes $\pi'$ – Taille $n$ (Combinatoire)	$0.99 \cdot \frac{2.41^n}{n\sqrt{n}}$
Shapes $\pi'$ – Compatible avec ARN de taille $n$	$1.28 \cdot \frac{1.81^n}{n\sqrt{n}}$

## Échantillonnage statistique

- Bioalgorithmiciens ont **redécouvert** la méthode récursive (pondérée).
- **Analyse en moyenne** et **optimisation** (Boustrophedon).
- Évaluer sans échantillonnage  $\Rightarrow$  Modif. automatisée de la spec. ?
- **Boltzmann** dans une **distribution de Boltzmann** ?

## Shapes ARN (Collab. : W. A. Lorenz et P. Clote – Boston College)

- **Beaucoup moins** de shapes que de struct. secondaires !  
 $\Rightarrow$  Énumération exhaustive réalisable ( $n < 200$ ).
- **Bijection** entre les mots de Motzkin et les shapes  $\pi$
- Modèle homopolymère **surestime** nombre de shapes  
Incorporer un modèle probabiliste pour possibilité d'appariement.  
Mais **Bernoulli** n'est pas suffisant ...

En fournissant des outils pour décrire l'espace des conformations, la combinatoire peut (et doit) aider la bioinfo.

$\Rightarrow$  Incorporer des **contraintes** et/ou **aspects probabilistes** à nos modèles.

## Échantillonnage statistique

- Bioalgorithmiciens ont **redécouvert** la méthode récursive (pondérée).
- **Analyse en moyenne** et **optimisation** (Boustrophedon).
- Évaluer sans échantillonnage  $\Rightarrow$  Modif. automatisée de la spec. ?
- **Boltzmann** dans une **distribution de Boltzmann** ?

## Shapes ARN (Collab. : W. A. Lorenz et P. Clote – Boston College)

- **Beaucoup moins** de shapes que de struct. secondaires !  
 $\Rightarrow$  Énumération exhaustive réalisable ( $n < 200$ ).
- **Bijection** entre les mots de Motzkin et les shapes  $\pi$
- Modèle homopolymère **surestime** nombre de shapes  
Incorporer un modèle probabiliste pour possibilité d'appariement.  
Mais **Bernoulli** n'est pas suffisant ...

En fournissant des outils pour décrire l'espace des conformations, la combinatoire peut (et doit) aider la bioinfo.

$\Rightarrow$  Incorporer des **contraintes** et/ou **aspects probabilistes** à nos modèles.

## Échantillonnage statistique

- Bioalgorithmiciens ont **redécouvert** la méthode récursive (pondérée).
- **Analyse en moyenne** et **optimisation** (Boustrophedon).
- Évaluer sans échantillonnage  $\Rightarrow$  Modif. automatisée de la spec. ?
- **Boltzmann** dans une **distribution de Boltzmann** ?

## Shapes ARN (Collab. : W. A. Lorenz et P. Clote – Boston College)

- **Beaucoup moins** de shapes que de struct. secondaires !  
 $\Rightarrow$  Énumération exhaustive réalisable ( $n < 200$ ).
- **Bijection** entre les mots de Motzkin et les shapes  $\pi$
- Modèle homopolymère **surestime** nombre de shapes  
Incorporer un modèle probabiliste pour possibilité d'appariement.  
Mais **Bernoulli** n'est pas suffisant ...

En fournissant des outils pour décrire l'**espace des conformations**, la combinatoire peut (et doit) aider la bioinfo.

$\Rightarrow$  Incorporer des **contraintes** et/ou **aspects probabilistes** à nos modèles.

# References |



**A. Condon, B. Davy, B. Rastegari, S. Zhao, and F. Tarrant.**

**Classifying RNA pseudoknotted structures.**  
*Theoretical Computer Science*, 320(1) :35–50, 2004.



**Y. Ding and E. Lawrence.**

**A statistical sampling algorithm for RNA secondary structure prediction.**  
*Nucleic Acids Research*, 31(24) :7280–7301, 2003.



**P. Flajolet, P. Zimmermann, and B. Van Cutsem.**

**Calculus for the random generation of labelled combinatorial structures.**  
*Theoretical Computer Science*, 132 :1–35, 1994.



**R. Giegerich, B. Voss, and M. Rehmsmeier.**

**Abstract shapes of RNA.**  
*Nucleic Acids Res.*, 32(16) :4843–4851, 2004.



**R. B. Lyngsø and C. N. S. Pedersen.**

**RNA pseudoknot prediction in energy-based models.**  
*Journal of Computational Biology*, 7(3-4) :409–427, 2000.



**N. Leontis and E. Westhof.**

**Geometric nomenclature and classification of RNA base pairs.**  
*RNA*, 7 :499–512, 2001.



**J.S. McCaskill.**

**The equilibrium partition function and base pair binding probabilities for RNA secondary structure.**  
*Biopolymers*, 29 :1105–1119, 1990.



**R. Nussinov and A.B. Jacobson.**

**Fast algorithm for predicting the secondary structure of single-stranded RNA.**  
*Proc Natl Acad Sci U S A*, 77 :6903–13, 1980.



**M. S. Waterman.**

**Secondary structure of single stranded nucleic acids.**

*Advances in Mathematics Supplementary Studies*, 1(1) :167–212, 1978.



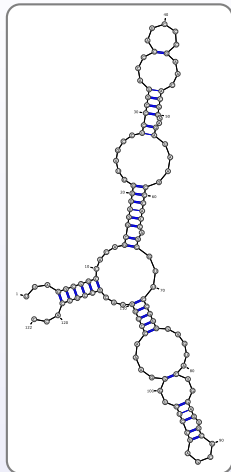
**M. Zuker and D. Sankoff.**

**Rna secondary structures and their prediction.**

*Bull Math Bio*, 46 :591–621, 1984.

Basée sur décomposition **non-ambiguë** en **boucles** de la structure 2<sup>a</sup>ire :

- Boucles internes
- Renflements
- Boucles terminales
- Boucles multiples
- Empilements

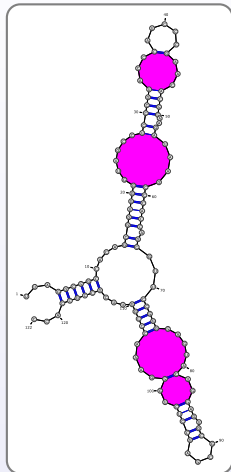
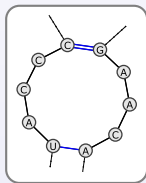


Énergies libres des boucles déterminées expérimentalement  
+ Interpolation pour les grandes boucles

# Modèle de Turner

Basée sur décomposition **non-ambiguë** en **boucles** de la structure 2<sup>a</sup>ire :

- Boucles internes
- Renflements
- Boucles terminales
- Boucles multiples
- Empilements

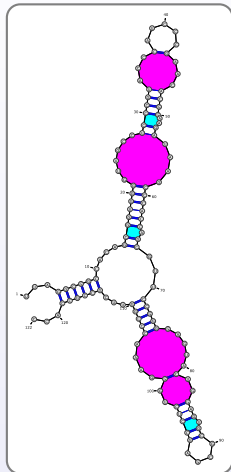
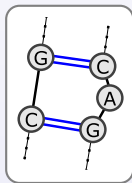


Énergies libres des boucles déterminées expérimentalement  
+ Interpolation pour les grandes boucles

# Modèle de Turner

Basée sur décomposition **non-ambiguë** en **boucles** de la structure 2<sup>a</sup>ire :

- Boucles internes
- Renflements
- Boucles terminales
- Boucles multiples
- Empilements

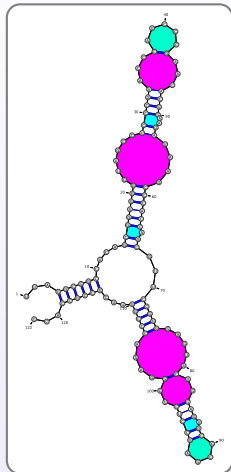
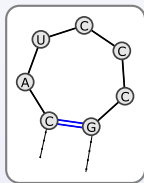


Énergies libres des boucles déterminées expérimentalement  
+ Interpolation pour les grandes boucles

# Modèle de Turner

Basée sur décomposition **non-ambiguë** en **boucles** de la structure 2<sup>a</sup>ire :

- Boucles internes
- Renflements
- Boucles terminales
- Boucles multiples
- Empilements

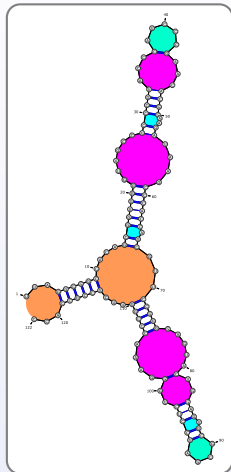
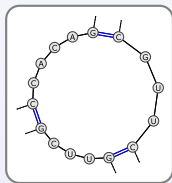


Énergies libres des boucles déterminées expérimentalement  
+ Interpolation pour les grandes boucles

# Modèle de Turner

Basée sur décomposition **non-ambiguë** en **boucles** de la structure 2<sup>a</sup>ire :

- Boucles internes
- Renflements
- Boucles terminales
- Boucles multiples
- Empilements

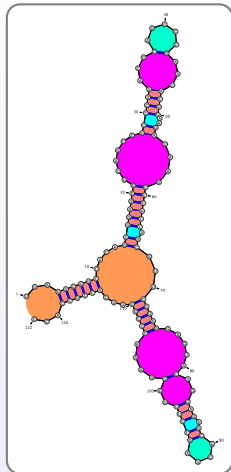
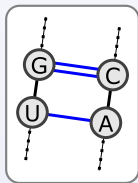


Énergies libres des boucles déterminées expérimentalement  
+ Interpolation pour les grandes boucles

# Modèle de Turner

Basée sur décomposition **non-ambiguë** en **boucles** de la structure 2<sup>a</sup>ire :

- Boucles internes
- Renflements
- Boucles terminales
- Boucles multiples
- Empilements

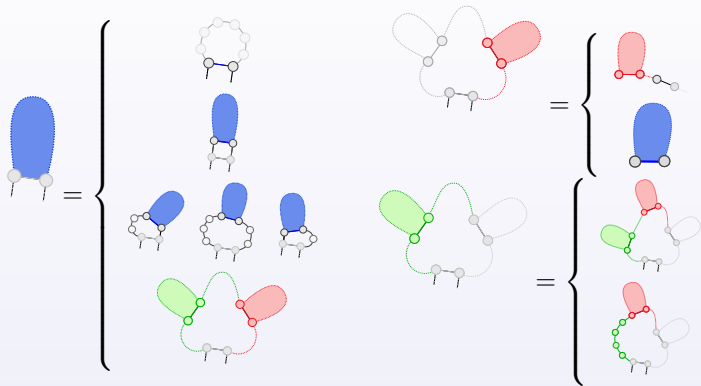


Énergies libres des boucles déterminées expérimentalement  
+ Interpolation pour les grandes boucles





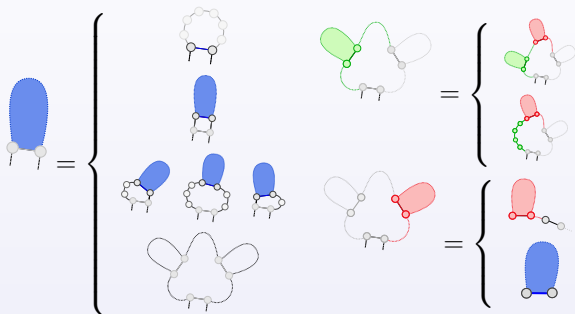
# MFE DP equations



Unambiguity : Not too hard to check !

Completeness  $\Rightarrow$  Enumerative combinatorics.

# Validation



Generating function  $\mathcal{T}(z) = \sum_{n \geq 0} t_n z^n$

With  $t_n = \# \text{Secondary structures of size } n$

$$\mathcal{A}(z) = \begin{cases} S(z) \\ z^2 \mathcal{A}(z) \\ zS(z)z^2 \mathcal{A}(z) + z^2 \mathcal{A}(z)S(z)z \\ + zS(z)z^2 \mathcal{A}(z)S(z)z \\ B(z)\mathcal{C}(z) \end{cases} \quad \begin{cases} \mathcal{B}(z) = \begin{cases} B(z)\mathcal{C}(z) \\ S(z)\mathcal{B}(z) \end{cases} \\ \mathcal{C}(z) = \begin{cases} \mathcal{C}(z)z \\ z^2 \mathcal{A}(z) \end{cases} \end{cases}$$

$$S(z) = 1 + zS(z)$$

$$\mathcal{A}(z) = \begin{cases} S(z) \\ z^2 \mathcal{A}(z) \\ zS(z)z^2 \mathcal{A}(z) + z^2 \mathcal{A}(z)S(z)z \\ + zS(z)z^2 \mathcal{A}(z)S(z)z \\ B(z)C(z) \end{cases} \quad \begin{cases} B(z) = \begin{cases} B(z)C(z) \\ S(z)B(z) \end{cases} \\ C(z) = \begin{cases} C(z)z \\ z^2 \mathcal{A}(z) \end{cases} \end{cases}$$

$$S(z) = 1 + zS(z)$$

**Reminder** : Waterman counted Sec. Str. [Wat78] and found the gen. fun.

$$\mathcal{W}(z) = \frac{1 - z + z^2 - \sqrt{1 - 2z - z^2 - 2z^3 + z^4}}{2z^2}$$

Here we have

$$\begin{aligned} \Rightarrow \mathcal{A}(z) &= \frac{1 - z - z^2 - \sqrt{1 - 2z - z^2 - 2z^3 + z^4}}{2z^2} \\ &= \mathcal{W}(z) - 1 \quad (\text{Woops, we forgot the empty RNA}) \end{aligned}$$